

Starkniederschlagshöhen und -spenden gemäß KOSTRA-DWD-2020

Rasterfeld 111190

(Zeile 111, Spalte 190)

Regenspende und Bemessungsniederschlagswerte in Abhängigkeit von Wiederkehrzeit T und Dauerstufe D

| Dauerstufe D | | Wiederkehrzeit T | | | | | | | | | | | | | | | | | |
|--------------|-----|------------------|------------|------|------------|------|------------|------|------------|------|------------|-------|------------|-------|------------|-------|------------|-------|------------|
| | | 1 a | | 2 a | | 3 a | | 5 a | | 10 a | | 20 a | | 30 a | | 50 a | | 100 a | |
| min | Std | mm | l / (s ha) | mm | l / (s ha) | mm | l / (s ha) | mm | l / (s ha) | mm | l / (s ha) | mm | l / (s ha) | mm | l / (s ha) | mm | l / (s ha) | mm | l / (s ha) |
| 5 | | 5,9 | 196,7 | 7,6 | 253,3 | 8,6 | 286,7 | 9,9 | 330,0 | 11,8 | 393,3 | 13,8 | 460,0 | 15,1 | 503,3 | 16,8 | 560,0 | 19,2 | 640,0 |
| 10 | | 8,3 | 138,3 | 10,5 | 175,0 | 11,9 | 198,3 | 13,8 | 230,0 | 16,5 | 275,0 | 19,2 | 320,0 | 21,0 | 350,0 | 23,4 | 390,0 | 26,8 | 446,7 |
| 15 | | 9,7 | 107,8 | 12,4 | 137,8 | 14,0 | 155,6 | 16,2 | 180,0 | 19,3 | 214,4 | 22,5 | 250,0 | 24,7 | 274,4 | 27,4 | 304,4 | 31,4 | 348,9 |
| 20 | | 10,7 | 89,2 | 13,7 | 114,2 | 15,5 | 129,2 | 17,9 | 149,2 | 21,4 | 178,3 | 24,9 | 207,5 | 27,3 | 227,5 | 30,3 | 252,5 | 34,7 | 289,2 |
| 30 | | 12,2 | 67,8 | 15,6 | 86,7 | 17,6 | 97,8 | 20,4 | 113,3 | 24,3 | 135,0 | 28,4 | 157,8 | 31,0 | 172,2 | 34,5 | 191,7 | 39,5 | 219,4 |
| 45 | | 13,7 | 50,7 | 17,5 | 64,8 | 19,8 | 73,3 | 22,9 | 84,8 | 27,3 | 101,1 | 31,9 | 118,1 | 34,9 | 129,3 | 38,8 | 143,7 | 44,4 | 164,4 |
| 60 | 1 | 14,8 | 41,1 | 18,9 | 52,5 | 21,4 | 59,4 | 24,7 | 68,6 | 29,5 | 81,9 | 34,5 | 95,8 | 37,7 | 104,7 | 41,9 | 116,4 | 48,0 | 133,3 |
| 90 | 1,5 | 16,4 | 30,4 | 21,0 | 38,9 | 23,8 | 44,1 | 27,4 | 50,7 | 32,8 | 60,7 | 38,2 | 70,7 | 41,8 | 77,4 | 46,5 | 86,1 | 53,3 | 98,7 |
| 120 | 2 | 17,6 | 24,4 | 22,5 | 31,3 | 25,5 | 35,4 | 29,5 | 41,0 | 35,2 | 48,9 | 41,0 | 56,9 | 44,9 | 62,4 | 49,9 | 69,3 | 57,2 | 79,4 |
| 180 | 3 | 19,4 | 18,0 | 24,8 | 23,0 | 28,1 | 26,0 | 32,5 | 30,1 | 38,7 | 35,8 | 45,2 | 41,9 | 49,5 | 45,8 | 55,0 | 50,9 | 63,0 | 58,3 |
| 240 | 4 | 20,8 | 14,4 | 26,5 | 18,4 | 30,0 | 20,8 | 34,7 | 24,1 | 41,4 | 28,8 | 48,4 | 33,6 | 52,9 | 36,7 | 58,8 | 40,8 | 67,3 | 46,7 |
| 360 | 6 | 22,8 | 10,6 | 29,1 | 13,5 | 33,0 | 15,3 | 38,1 | 17,6 | 45,5 | 21,1 | 53,1 | 24,6 | 58,1 | 26,9 | 64,6 | 29,9 | 73,9 | 34,2 |
| 540 | 9 | 25,0 | 7,7 | 31,9 | 9,8 | 36,2 | 11,2 | 41,8 | 12,9 | 49,9 | 15,4 | 58,2 | 18,0 | 63,6 | 19,6 | 70,8 | 21,9 | 81,0 | 25,0 |
| 720 | 12 | 26,7 | 6,2 | 34,0 | 7,9 | 38,6 | 8,9 | 44,6 | 10,3 | 53,2 | 12,3 | 62,1 | 14,4 | 67,9 | 15,7 | 75,5 | 17,5 | 86,5 | 20,0 |
| 1080 | 18 | 29,2 | 4,5 | 37,2 | 5,7 | 42,2 | 6,5 | 48,8 | 7,5 | 58,2 | 9,0 | 68,0 | 10,5 | 74,3 | 11,5 | 82,7 | 12,8 | 94,7 | 14,6 |
| 1440 | 24 | 31,1 | 3,6 | 39,7 | 4,6 | 45,0 | 5,2 | 52,0 | 6,0 | 62,1 | 7,2 | 72,5 | 8,4 | 79,3 | 9,2 | 88,2 | 10,2 | 100,9 | 11,7 |
| 2880 | 48 | 36,3 | 2,1 | 46,3 | 2,7 | 52,5 | 3,0 | 60,7 | 3,5 | 72,4 | 4,2 | 84,5 | 4,9 | 92,4 | 5,3 | 102,8 | 5,9 | 117,7 | 6,8 |
| 4320 | 72 | 39,7 | 1,5 | 50,7 | 2,0 | 57,5 | 2,2 | 66,4 | 2,6 | 79,2 | 3,1 | 92,5 | 3,6 | 101,1 | 3,9 | 112,5 | 4,3 | 128,8 | 5,0 |
| 5760 | 96 | 42,3 | 1,2 | 54,0 | 1,6 | 61,2 | 1,8 | 70,7 | 2,0 | 84,4 | 2,4 | 98,5 | 2,9 | 107,8 | 3,1 | 119,9 | 3,5 | 137,2 | 4,0 |
| 7200 | 120 | 44,5 | 1,0 | 56,7 | 1,3 | 64,3 | 1,5 | 74,3 | 1,7 | 88,7 | 2,1 | 103,5 | 2,4 | 113,2 | 2,6 | 125,9 | 2,9 | 144,2 | 3,3 |
| 8640 | 144 | 46,3 | 0,9 | 59,1 | 1,1 | 67,0 | 1,3 | 77,4 | 1,5 | 92,3 | 1,8 | 107,8 | 2,1 | 117,9 | 2,3 | 131,1 | 2,5 | 150,1 | 2,9 |
| 10080 | 168 | 47,9 | 0,8 | 61,1 | 1,0 | 69,3 | 1,1 | 80,0 | 1,3 | 95,5 | 1,6 | 111,5 | 1,8 | 122,0 | 2,0 | 135,7 | 2,2 | 155,3 | 2,6 |

Starkniederschlagshöhen und -spenden gemäß KOSTRA-DWD-2020

Rasterfeld 111190

(Zeile 111, Spalte 190)

Örtliche Unsicherheiten in Abhängigkeit von Wiederkehrzeit T und Dauerstufe D

| Dauerstufe D | | Wiederkehrzeit T | | | | | | | | |
|--------------|-----|------------------|-----|-----|-----|------|------|------|------|-------|
| | | 1 a | 2 a | 3 a | 5 a | 10 a | 20 a | 30 a | 50 a | 100 a |
| min | Std | ± % | ± % | ± % | ± % | ± % | ± % | ± % | ± % | ± % |
| 5 | | 13 | 12 | 12 | 12 | 12 | 13 | 13 | 13 | 13 |
| 10 | | 10 | 12 | 13 | 14 | 15 | 16 | 16 | 17 | 17 |
| 15 | | 12 | 14 | 15 | 16 | 17 | 18 | 19 | 19 | 20 |
| 20 | | 13 | 16 | 17 | 18 | 19 | 20 | 21 | 21 | 22 |
| 30 | | 15 | 17 | 18 | 20 | 21 | 22 | 22 | 23 | 24 |
| 45 | | 16 | 18 | 19 | 21 | 22 | 23 | 24 | 24 | 25 |
| 60 | 1 | 16 | 19 | 20 | 21 | 22 | 23 | 24 | 25 | 25 |
| 90 | 1,5 | 16 | 19 | 20 | 21 | 23 | 24 | 24 | 25 | 25 |
| 120 | 2 | 16 | 18 | 20 | 21 | 22 | 23 | 24 | 24 | 25 |
| 180 | 3 | 15 | 18 | 19 | 20 | 22 | 23 | 23 | 24 | 24 |
| 240 | 4 | 15 | 17 | 19 | 20 | 21 | 22 | 23 | 23 | 24 |
| 360 | 6 | 14 | 17 | 18 | 19 | 20 | 21 | 22 | 22 | 23 |
| 540 | 9 | 14 | 16 | 17 | 18 | 19 | 20 | 21 | 21 | 22 |
| 720 | 12 | 13 | 15 | 16 | 18 | 19 | 20 | 20 | 21 | 21 |
| 1080 | 18 | 13 | 15 | 16 | 17 | 18 | 19 | 19 | 20 | 21 |
| 1440 | 24 | 13 | 14 | 15 | 16 | 18 | 18 | 19 | 19 | 20 |
| 2880 | 48 | 13 | 14 | 15 | 16 | 17 | 17 | 18 | 18 | 19 |
| 4320 | 72 | 13 | 14 | 15 | 16 | 16 | 17 | 17 | 18 | 18 |
| 5760 | 96 | 14 | 15 | 15 | 16 | 16 | 17 | 17 | 18 | 18 |
| 7200 | 120 | 14 | 15 | 15 | 16 | 16 | 17 | 17 | 18 | 18 |
| 8640 | 144 | 15 | 15 | 16 | 16 | 17 | 17 | 17 | 18 | 18 |
| 10080 | 168 | 15 | 15 | 16 | 16 | 17 | 17 | 17 | 18 | 18 |

Parameter für abweichende T und D

Lokationsparameter ξ (Xi)

15,48107154

Skalenparameter α (Alpha)

5,93756116

Formparameter κ (Kappa)

-0,1

1. Koutsoyiannis-Parameter θ (Theta)

0,05798016

2. Koutsoyiannis-Parameter η (Eta)

0,77940139

Parameter für dauerstufenübergreifende Extremwertschätzung nach KOUTSOYIANNIS et al. 1998.

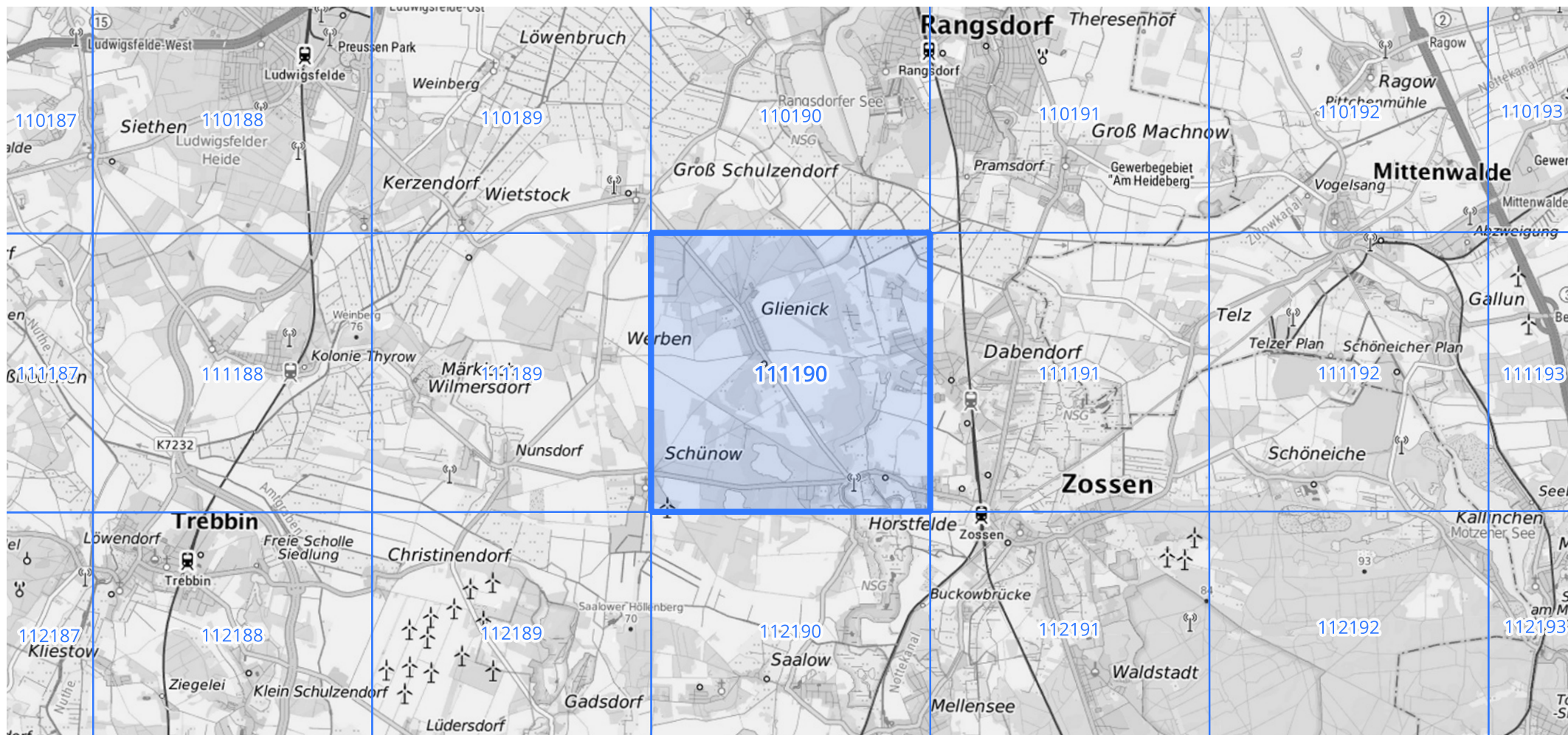
Siehe auch Anwendungshilfe zu KOSTRA-DWD-2020 des Deutschen Wetterdienstes.

Starkniederschlagshöhen und -spenden gemäß KOSTRA-DWD-2020

Rasterfeld 111190

(Zeile 111, Spalte 190)

Übersichtskarte des Rasterfeldes 111190, M 1 : 100 000



Quelle Rasterdaten: KOSTRA-DWD-2020 des Deutschen Wetterdienstes, Stand 12/2022.

Seite 3 von 3

Kartendarstellung: © Bundesamt für Kartographie und Geodäsie (2023), Datenquellen: https://sgx.geodatenzentrum.de/web_public/gdz/datenquellen/Datenquellen_TopPlusOpen.html

Für die Richtigkeit und Aktualität der Angaben wird keine Gewähr übernommen. Erstellt 01/2023.